

# サンドコンパクションパイルの大規模施工に伴う 隆起地盤の形状と物性

## SHAPE AND PROPERTIES OF THE UPHEAVAL OF COHESIVE SOIL IMPROVED BY COMPACTED SAND PILING METHOD

前田 進\*・高井俊郎\*\*・福手 勤\*\*\*

By Susumu MAEDA, Toshiro TAKAI and Tsutomu FUKUTE

The upheaved part of the cohesive ground due to compacted sand pilings was also improved by the same method and utilized as a part of the foundation soil of structures at the construction site of the Kansai International Airport Island.

The shape, strength, soil properties and settlement of the upheaved part were studied.

A method to predict the shape of the upheaved part was proposed and the measured shapes of the upheaval were compared with predicted ones.

The study results show that the upheaved part of the cohesive ground is strong enough to serve as a foundation for structures.

*Keywords:* compacted sand piling

### 1. まえがき

サンドコンパクションパイル（以下 SCP と記す）工法は、当初は緩い砂質土地盤の締固めに用いられていたが、最近ではむしろ粘性土地盤の改良に適用されることが多く、急速施工が可能であること、施工後の沈下量が比較的小さいことなどと相まって港湾構造物の基礎の地盤改良工法として一般的に用いられるに至っている。

粘性土地盤に置換率の大きい SCP を施工すると、大量の砂を圧入することにより周辺粘性土が海底面上へ隆起してくるが、従来この隆起地盤については軟弱な粘性土であるうえその性状がほとんど不明であったため、この隆起部分を地盤として使用せず撤去する例が多かった。しかし関西国際空港の工事においては、隆起した軟弱粘土の撤去に伴う土砂処分場の確保の困難・海水汚濁防止・工期の短縮等の観点から隆起地盤の有効活用が強く求められることとなり、運輸省第三港湾建設局が関西国際空港の着工準備のため舞鶴港で実施した現地実験の

結果<sup>1),2)</sup>等をふまえ、隆起地盤についても砂杭による改良を実施した。

以下本文では関西国際空港<sup>3)</sup>の埋立護岸で施工された SCP 工に伴う隆起地盤の形状、土性ならびにその部分での沈下特性を総合的に把握することによって得られた隆起地盤の有効活用に関する知見について報告する。

### 2. サンドコンパクションパイルの施工の概要

関西国際空港の空港島護岸（図-1）のうち C 護岸（鋼製セル護岸 1790 m）および D 護岸（直立消波ケーン護岸 721 m）の地盤改良工法として SCP 工法が採用された。

SCP の打設は昭和 62 年 4 月から 11 月にかけて行われた（写真-1）。打設地点の水深は 16.6 m～18.3 m であり、海底面から 15～18 m 厚さの軟弱な沖積粘土層があり、その下に洪積層が現われる<sup>4)</sup>。

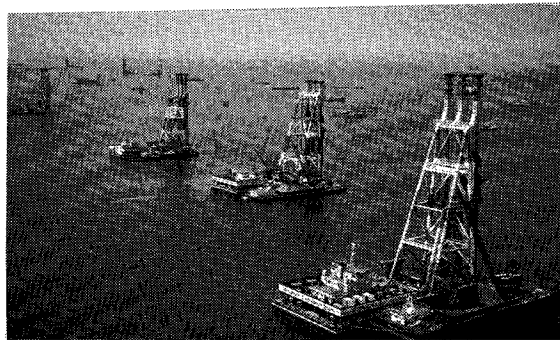


図-1 関西国際空港 空港島の平面形状

\* 正会員 関西国際空港（株）常務取締役  
(〒542 大阪市中央区南船場 3-11-18)

\*\* 正会員 工修 関西国際空港（株）建設事務所所長  
(〒596 岸和田市大北町 9-25)

\*\*\* 正会員 工博 同上技術課長（現・運輸省港湾技術研究所構造部材料研究室長）(〒239 横須賀市長瀬 3-1-1)



SCPの施工部分には厚さ3m（海砂約1mの上に山砂約2m）の敷砂を敷設した後に砂杭を打設した。SCPによる沖積粘土層の改良は、直径2.0mの締固め砂杭を2.1m間隔で正方形配置（砂置換率70%）することを基本としており、護岸の断面方向端部では一部直径1.25mの締固め砂杭を2.1m間隔で配置（砂置換率27%）している。このように端部で置換率の低い砂杭が一部採用されているのは、設計計算の際、円形すべりに対する最も経済的な断面を求めた結果である。

本工事で特徴的のは、前述したようにSCPの上部に生ずる隆起地盤部分についても締固め砂杭を施工して改良することとしたことである（表一1、図一2参照）。すなわち護岸70%改良部では杭打設直前にケーシング直近で測定した敷砂天端高さから3m（敷砂厚は3m）下がった面をSCP天端基準高さとしており、これ以深は直径2.0mに拡径締固めして砂杭の打設を行い、これ以浅敷砂天端高さまでは直径1.25mの締固め砂杭を打設することとした。また護岸27%改良部では直径1.25mのストレート杭で杭打設直前にケーシング直近で測定した敷砂天端高さまでSCPを施工している。さ

表一 SCPのパイル種一覧

打設場所	護岸70%改良部	護岸27%改良部	アバット部
杭種名	φ2000複合杭A	φ1250ストレート杭	φ2000複合杭B
パイルピッチ	° 2.1 m	° 2.1 m	° 2.1 m
本数	14,379本	1,768本	1,620本
パイル仕様図	 打設直前G.L. φ2000 φ1250 3000	 打設直前G.L. φ1250 φ2000	 打設直前G.L. φ1250 φ2000 -16.700

\* -16.7mは敷砂施工前の海底地盤高である。

らにアバット部では、護岸70%改良部のような改良を行うと広範囲に置換率の大きいSCPを打設することとなり地盤の隆起が過大になると予想されたため、敷砂施工前の原海底地盤高である-16.7m以深では直径2.0mのSCP、-16.7m以浅打設直前GLまでの部分では直径1.25mのSCPで改良を行うこととした。

### 3. サンドコンパクションパイプの施工に伴う隆起地盤の形状

#### (1) これまでの経験式の適用性

SCP打設前およびSCP打設後の深浅測量結果から求めた隆起等高線の例を図一8、図一12に示す。当初の設計においてSCP改良域内の隆起地盤の平均隆起高さを過去の施工事例より得られた重回帰式<sup>5)</sup>より2.8mと見積っていたのと比べるとかなり大きい結果となっている。このような差異が生じたのは、①設計では平均隆起高さのみに着目していたこと、②重回帰式中に大水深、大深度のデータが含まれていなかったのに対して今回の施工は大水深、大深度での施工であること、③重回帰式が旧GL以下を改良した事例から得られたものであるのに対して、今回の施工では隆起地盤部分についてもSCPを施工したためこれによる隆起も加わったこと、などが複合的に影響を及ぼしたことによると考えられる。

#### (2) 施工に伴う隆起地盤の形状予測

SCPによる隆起地盤の形状は平尾・松尾<sup>1)</sup>が示すように砂杭打設方向の影響が大きく、未改良域へ粘性土を押しやる形で発生する。実施工においてはSCPの打設方向、SCP打設周囲の拘束条件などの三次元的な効果があり、二次元的な取り扱いのみでは隆起地盤の形状を十分推定できないところがあるため、塙見<sup>6)</sup>らは三次元モデルに対する平均隆起高の算定式を提案している。本報では、①SCPの打設方式（交互打設片押し方式か一方向打設片押し方式か）、②側方の隣接既施工SCPによる拘束条件の違いといった現場の施工状況をできるだ

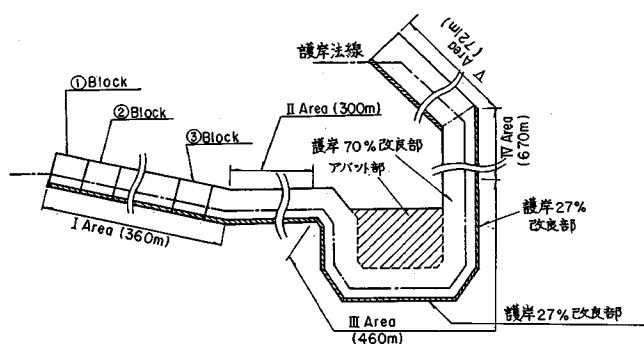




表-2 隆起率  $\mu, \mu^*$  の実測例（関西国際空港現場）

項目	Block名	①Block	②Block	③Block	備考
改良面積	A m <sup>2</sup>	1,508	1,508	1,508	
平均パイアル長	L m	26.6	27.9	23.9	
全隆起土量	V m <sup>3</sup>	21,312	21,350	18,646	
在来地盤中砂量	V <sub>s1</sub> m <sup>3</sup>	20,071	21,419	17,852	
隆起地盤中砂量	V <sub>s2</sub> m <sup>3</sup>	4,596	4,472	4,224	
粒砂中砂量	V <sub>s3</sub> m <sup>3</sup>	1,225	1,225	1,225	
隆起率	$\mu$	0.823	0.787	0.800	
護岸 70%	$\mu^*$	1.001	0.943	0.977	
改良部	$\alpha$	0.393	0.391	0.439	
	$\mu_1$	0.832	0.762	0.770	$\mu_1 = 0.79$
	$\mu_2$	0.738	0.850	0.872	$\mu_2 = 0.82$

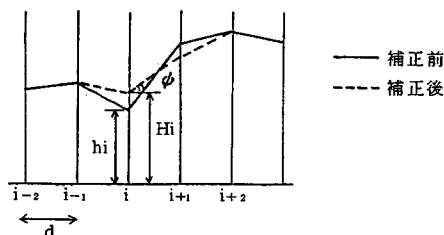


図-6 隆起形状の補正

て直接  $\mu^* \approx 1.0$  が得られる。

## ② アバット部 ( $a_{s1}=0.7, a_{s2}=a_{s3}=0.27$ )

アバット部は、表-1 のように SCP 改良仕様が護岸部と異なるが、表-2 の先行調査結果から、以下のように  $\mu^*$  を推定できる。なお、アバット部の  $\alpha$  については、図-7 の基本ブロックの組合せからなる形状について試算した結果より  $\alpha \approx 0.4$  とする。

表-2 より、式(5), (6) を使って得られた  $\mu_1$  および  $\mu_2$  の平均値  $\bar{\mu}_1=0.79, \bar{\mu}_2=0.82$  と  $a_{s1}=0.7, a_{s2}=0.27$  を用いて、式(3) から  $V_{s2}$ , 式(2) から  $V$  が求まる。これらと式(7) から計算の結果、 $\mu^* \approx 0.85$  が得られる。

## c) 限界勾配 $\psi$ による隆起形状の補正

SCP を順番に打設していく場合、それぞれの砂杭による隆起が重なり合っていく。この際、隆起地盤斜面の傾きに限界があり、この限界勾配  $\psi$  以上になると斜面が崩れはじめ、平衡状態になるまで隆起土が移動すると想定すれば、移動後の隆起高さについては図-6 に示すように次式が成立する。 $\psi$  の値としては通常無処理域の限界勾配と考えられる 1 : (6~7) におおむね相当する  $\psi=10^\circ$  を採用した。

$$H_{i+1} - H_i = d \cdot \tan \psi \quad \dots \dots \dots (8)$$

$$H_i - h_i = -L_c(H_{i+1} - h_{i+1}) \quad \dots \dots \dots (9)$$

ここに、 $L_c$ ：断面における補正前後の面積変化率（体積

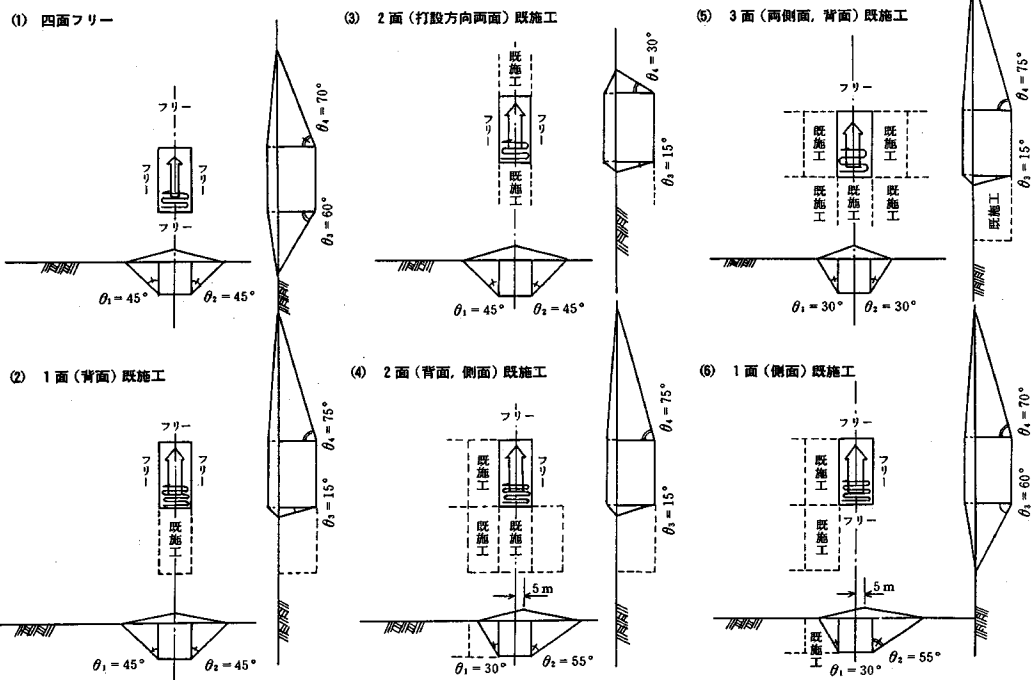


図-7 隆起地盤形状検討のための基本ブロック（交互打設片押し方式）

変化率に相当するが通常 1 とする)

$h_i$ : 補正前の予測隆起高さ

$H_t$ : 補正後の予測降起高さ

$d$  : 計算間隔 (実測量間隔に相当)

式(8), (9)を使い各断面の最大勾配区間から逐一  
隆起高さを補正し  $H_t$  を計算する。

### (3) 実測との比較

関西国際空港空港島のC護岸部（延長1790m）を対象として、前節で述べた手法で隆起地盤の形状を予測した結果と実測結果とを比較する。

#### a) 基本ブロックの設定

本工事のうち先行的に実施された図-2、表-2の区域(①～③Block)での実績に基づき、実際のSCPの打設方式に合致するように図-7のようないくつかの基本ブロックを設定する。実際のSCP打設工では護岸法線から直角方向に振り分けて打設する交互打設片押し方多用されており、ここで採用した基本ブロックの大きさは護岸法線方向に18.9m(2.1m×9本)、護岸直角方向に16.8m(2.1m×8本)または23.1m(2.1m×11本)であり、その面積は318m<sup>2</sup>または437m<sup>2</sup>となっている。この基本ブロックでは、各ブロックの施工順序の違いによる側方の隣接施工SCPによる拘束条件の違いが隆起地盤の三次元的な形状に与える影響が考慮されている。すなわち、四面フリーの状態に比べて、隣接して既施工ブロックがある場合には、既施工ブロック側への隆起がおさえられ、その分がフリー側へ広範囲に隆起する傾向がモデル的に表現されている。

なお、図-7には高さが示されていないが、3.(2)b)に示した  $\mu^*=1.0$  または 0.85 を用いて得られる各基本ブロックの隆起土量から隆起高さが計算されることとなる。

#### b) 予測形状と実測値との比較

予測された隆起形状と実測隆起形状の比較を行うため  
 $X_{ij}$ を次のとおり定義する

ここに、 $X_{ij}$ ：座標  $(i, j)$  での実測値と予測値の差

$H_{ij}$ : 座標  $(i, j)$  での実測降起高さ

$H_{111}$ : 座標  $(i, j)$  での予測降起高さ

この  $X_{ij}$  の頻度分布によってその予測精度を評価することができる。

以下に、護岸の直線部(図-2のⅠ Area)と隅角部(連絡橋アバット部、図-2のⅢ Area)についての比較を示す。

### ① 護岸直線部の例 (I Area)

図-8に予測隆起高さのコンター図と実測隆起高さのコンター図を示す。図-9に両者の相関図を、図-10に  $X_{it}$  の頻度分布を示す。また図-11に隆起地盤の断面図

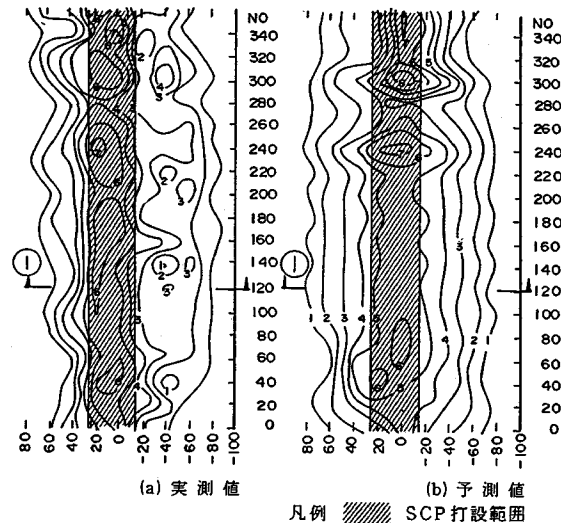


図-8 隆起地盤形状の比較 (I Area)

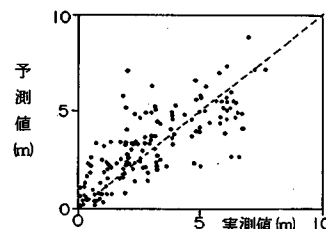


図-9 実測値と予測値の相関 (I Area)

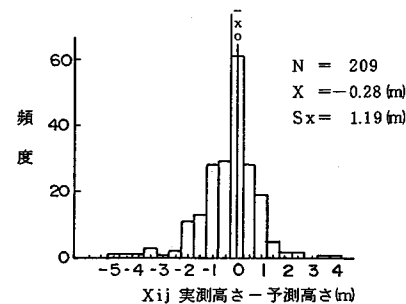


図-10  $X_{ij}$  の頻度分布 (I Area)

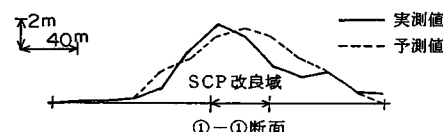


図-11 隆起地盤の実測と予測の断面図 (T Area)

を示す。これらの図より予測値と実測値とがよく対応していることがわかる。

## ② 護岸隅角部の例 (III Area)

この部分は、隆起土が集中しやすいこともあり、原地盤以浅の隆起地盤の改良法として護岸部では置換率70

% の SCP, アバット部では置換率 27 % の砂杭が採用されている。そのため、3.(2)b) に示したように前者では  $\mu^*=1.0$ , 後者では  $\mu^*=0.85$  とした。また重ね合わせが重複しあうので  $\phi=10^\circ$ , 式(6)の  $L=1$  として3.(2)c) に示した限界勾配  $\phi$  による隆起形状の補正を行った。図-12 から図-15 に予測と実測の比較を示す。これらの図より予測値と実測値はおおむね似通っているが、前者の方が若干大きめにでる傾向がある。

本予測手法で他の場所についても隆起地盤の予測形状と実測形状を比較してみた<sup>7)</sup>が、本例②に示した護岸隅角部 (III Area) を除き両者はよい一致を示した。護岸隅角部では予測値の方が実測値よりいくぶん大きくなっているが、これは本例では他の事例に比べて基本ブロックがより複雑に重なり合い、影響範囲も重複していたことが一因となっていると考えられる。しかしながら図-15 に示すようにここでも隆起形状の傾向はよく近似している。実際、現地では本報で示した手法で同地区的形状予測を行い、複雑な施工時の SCP 打設計画を合理的に行なった。本手法を他の事例に適用していくには測定事例を積み重ね  $\mu_1, \mu_2$  の信頼性を上げるほか、図-7 の基本ブロック形状の汎用性についても確認を行う必要があるが、今後も SCP の施工による隆起地盤の発生傾向を知るうえで本手法は適用性があるものと考えられる。

#### 4. 改良地盤およびその周辺地盤の強度特性

隆起地盤の土性を調べるためにボーリングを行なった結果

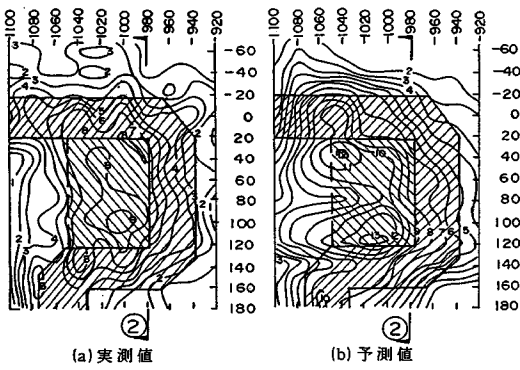


図-12 隆起地盤形状の比較 (III Area)

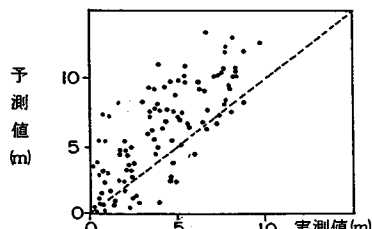


図-13 実測値と予測値の相関 (III Area)

果の一例を図-16 に示す。これはセンターラインからの両方向振分け方式で施工した部分である。

従来、隆起部分を改良せずに撤去することとした隆起地盤は乱された軟弱な粘性土であったが、本例では、隆起地盤も SCP で改良したことにより粘性土はところどころに塊状にみられるにすぎない。また隆起地盤部分で行ったボーリングで得られた粒度組成を表-3 に示す。表層 3 m 以浅および表層 3 m 以深の SCP 杭心部についてはおおむね 90 % 以上が砂・礫質であり、粘土・シルト分は 10 % 程度しか含まれていない。隆起地盤部分で行った図-16 の 9 本のボーリングを含む 18 本のボーリングによる  $N$  値をみると、表層部分 3 m までは平均  $N$  値 4 とゆるい砂であるが、海砂については SCP 杭以外の海砂で平均  $N$  値 19, SCP 杭の海砂で平均  $N$  値 17 であり、比較的よく締まっており改良された隆起地盤が十分な強度をもっていることがわかった。

また、SCP による改良域周辺地盤のボーリング結果を図-17 に示す。同図には破壊ひずみ  $\epsilon_f$  が 5 % 以上となる領域を SCP 打設に伴う乱れの影響があるとした場合の乱れの範囲も示している。これによると、周辺の粘性土が乱される影響は SCP の下端深度近くでは鉛直に対して約 45 度の範囲であるが、海底面に近づいてくると、この角度が大きくなってくることがわかる。このような傾向は、平尾・松尾<sup>3)</sup>により報告されているものと一致している。本ボーリングは SCP 打設後 9 か月で行ったものであり、上載荷重のない状態では SCP 打設に伴う乱れの影響で大きくなったりした破壊ひずみはあまり元には戻らないといえよう。しかしながら強度については原地盤程度に回復している状況が伺われる。

#### 5. 改良地盤の圧密沈下特性

SCP による改良を行なった地盤に鋼板セル打設または、

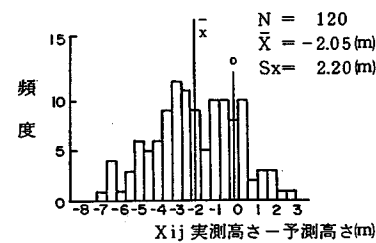


図-14  $X_{ij}$  の頻度分布 (III Area)

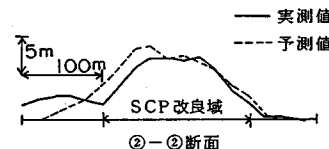


図-15 隆起地盤の実測と予測の断面図 (III Area)

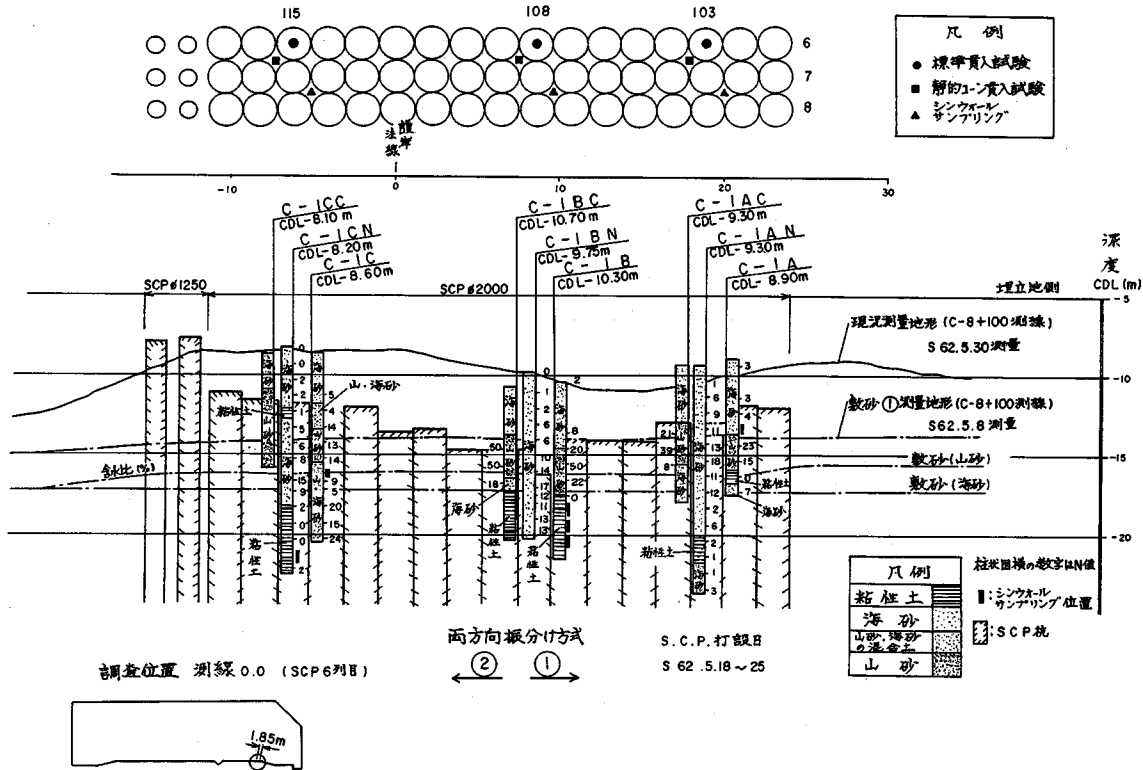


図-16 SCP工区(C護岸部)における盛上り土の土質性状

表-3 C護岸部におけるSCP隆起地盤の粒度組成

( ) 内は標準偏差

組成 土質区分		粘土、砂土(%) (74μ以下)	砂 (%) 74~2000 μ	レギ (%) 2000 μ以上	データ数
表層 3 m 以浅		13 (9)	72 (7)	15 (6)	14
表層 3 m 以深	海 砂	17 (8)	69 (8)	14 (3)	2
	山砂および 山砂・海砂 混合土	10 (5)	48 (17)	42 (19)	15
	粘 性 土	53 (18)	33 (13)	14 (10)	3
	S C P 杭心	8 (3)	70 (6)	22 (4)	15

\* SCP杭間の土性はボーリングの際判定されたものである。

ケーソン据え付けをした際の沈下量について、当初設計では、次式を採用していた。

ここに、 $S$ :SCP 改良地盤の沈下量

$S_0$ : 原地盤の沈下量

$\beta$ ：沈下低減係数

$\beta$  の値については  $a_s=70\%$  では  $\beta=1-a_s=0.3$  としていた。しかしながら、これまでの実績<sup>8)</sup>をみると、置換率と沈下低減係数の関係にはばらつきが大きいことから、関西国際空港の現場では、打設された鋼製セルの沈

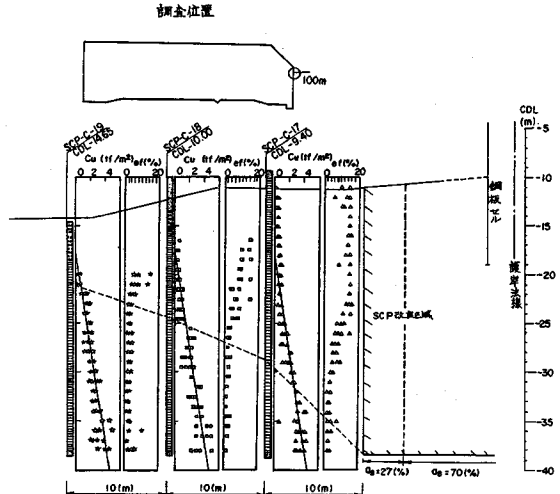


図-17 SCP 改良区域周辺の乱れの状況

下観測を行った。図-18に沈下計測地点を示す。A, B-1, B-2の3点は隆起地盤上、D点は原海底地盤面に設置されている。図-19に鋼板セル打設後アーケ打設までの沈下計測の結果の一例を示す。表-4にはこれらのうち隆起地盤表面での沈下計測データをもとに浅岡法、門

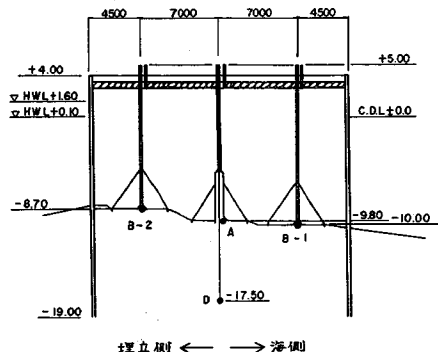


図-18 鋼製セルの沈下計測地点

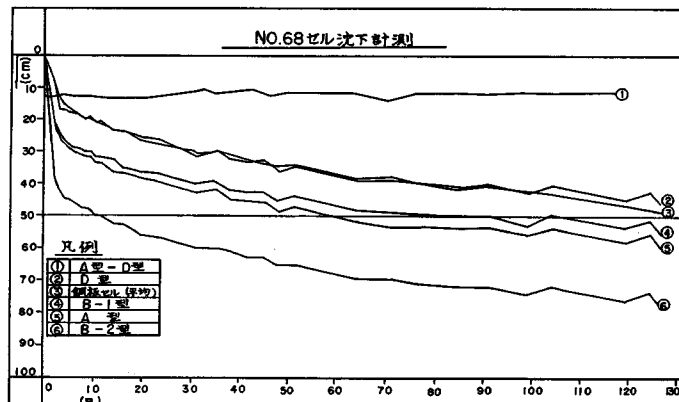
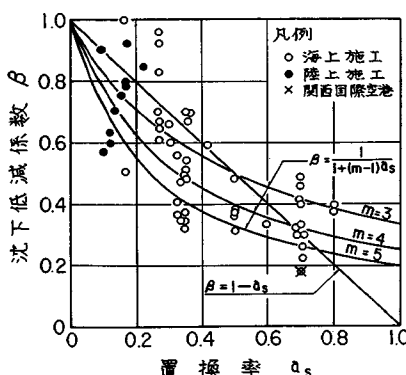


図-19 鋼製セルの沈下計測結果

表-4 最終沈下量予測

セルNo	測点	Sf (cm)		
		浅岡法	門田法	双曲線法
No. 68	No. A	54.8	61.4	61.3
	No. B-1	50.4	56.2	54.5
	No. B-2	57.5 *	62.8 *	61.1 *

\*) 沈下量初期補正済

図-20 置換率  $\alpha_s$  と沈下低減係数  $\beta$  の関係

田法、双曲線法によるカーブフィッティングによって最終沈下量予測を行った結果を示すが、これによる最終沈下量は平均で 58 cm となる。

一方、原地盤に鋼製セル施工による上載荷重が加えられた際の沈下量を、地盤内の応力は Boussinesq の式に従い、 $m_v$  は設計値どおり ( $m_v = 0.18 \times p^{-1.08}$  ( $\text{cm}^2/\text{kN}$ )) であるとして計算すると  $S = \sum S = \sum \Delta H \cdot m_v \cdot \Delta p \approx 303 \text{ cm}$  となることから、沈下低減係数  $\beta = 58 \text{ cm} / 303 \text{ cm} = 0.191$  となり、図-20 に示したように他の施工事例<sup>8)</sup>と比べて小さめの値となった。

隆起地盤の沈下圧縮状況については図-19 の A と D の差 (図-19 の ① : A 型 - D 型) を経時的に追うことによって把握できるが、セル打設後、計測開始までの 3 日間に約 10 cm の沈下を示した後は隆起部分の沈下は

ほとんどみられない。このことから隆起地盤を置換率 70 % の SCP で改良することにすれば隆起地盤部での沈下はほとんどが即時に発生し長期的な沈下は問題にならず、構造物の支持地盤としての十分な適用性があることがわかる。

## 6. まとめ

関西国際空港の空港島護岸工事で採用された SCP 工においては敷砂を施工したうえで SCP を打設しており、隆起地盤についても SCP による改良を行ってその有効活用が図られた。これについては本論で報告してきた結果をまとめると以下のとおりである。

(1) SCP による隆起地盤の形状予測について、現場の施工状況をできるだけ忠実に取り込み、基本となる SCP 打設ブロックごとの隆起形状を重ね合わせる手法を新たに提案した。三次元的、面的な隆起地盤の形状を SCP の打設方向、周囲の拘束条件を考慮して算定し、精度の高い予測が可能になった。

(2) 置換率 70 % の SCP による隆起地盤部は、 $N$  値からみても十分な強度をもっている。

(3) 置換率 70 % の SCP による隆起地盤部はセル打設に伴う荷重増を受けて 3 日間で約 10 cm 沈下したがその後ほとんど沈下しておらず、長期的な沈下は問題とならない。

(4) SCP 施工による隆起部分についても SCP による改良を行うことにより、在来撤去されることの多かった隆起地盤をそのまま改良地盤として活用することが可能であることが明らかになった。

謝 辞：本論文をまとめるにあたって運輸省港湾技術研究所土質部の寺師昌明室長に有益なご意見、ご指導を賜った。ここに記して謝意を表する。

## 参考文献

- 1) 平尾寿雄・松尾 稔：締固め砂杭の打設による海底隆起地盤の活用に関する研究，土木学会論文集，第364号／Ⅲ-4，1985年12月。
- 2) 平尾寿雄・松尾 稔：地盤改良に伴う粘性土地盤表面の隆起部分の特性に関する研究，土木学会論文集，第376号／Ⅲ-6，1986年12月。
- 3) 古土井光昭・矢島道夫：関西国際空港の建設設計画，土と基礎，Vol.34，No.1，pp.13～18，1986。
- 4) 古土井光昭：講座 海洋・海岸工学と土質 4. 海洋・海岸の構造物と基礎 4.3 人工島（関西国際空港），土と基礎，Vol.35，No.5，pp.63～68，1987。
- 5) 曽我部隆久：サンドコンパクションパイプ工法の設計・施工の技術的課題，第36回土木学会年次学術講演会研究討議会資料，pp.39～50，1981。
- 6) 塩見光男・河本憲二：SCP打設に伴う盛り上り土の予測，第21回土質工学研究発表会講演集，pp.1861～1862，1986。
- 7) 福手 勤・樋口嘉章・古市正彦・坪井英夫：サンドコンパクションパイプの大規模な打設に伴う海底隆起地盤の形状予測，第33回土質工学シンポジウム，1988年11月。
- 8) 一本英三郎・末松直幹：サンドコンパクションパイプ工法の実際の問題点(3)—総括—，土と基礎，Vol.31，No.5，pp.83～90，1983。

(1988.7.22・受付)